

**Uniwersytet Warszawski**  
Wydział Matematyki, Informatyki i Mechaniki

**Wiktor Zuba**

Nr albumu: 320501

# **Efektywne algorytmy generacji obiektów kombinatorycznych???**

Praca magisterska  
na kierunku INFORMATYKA

Praca wykonana pod kierunkiem  
**prof. Wojciech Rytter**  
Instytut Informatyki

??? 2017

## **Oświadczenie kierującego pracą**

Potwierdzam, że niniejsza praca została przygotowana pod moim kierunkiem i kwalifikuje się do przedstawienia jej w postępowaniu o nadanie tytułu zawodowego.

Data

Podpis kierującego pracą

## **Oświadczenie autora (autorów) pracy**

Świadom odpowiedzialności prawnej oświadczam, że niniejsza praca dyplomowa została napisana przeze mnie samodzielnie i nie zawiera treści uzyskanych w sposób niezgodny z obowiązującymi przepisami.

Oświadczam również, że przedstawiona praca nie była wcześniej przedmiotem procedur związanych z uzyskaniem tytułu zawodowego w wyższej uczelni.

Oświadczam ponadto, że niniejsza wersja pracy jest identyczna z załączoną wersją elektroniczną.

Data

Podpis autora (autorów) pracy

### **Streszczenie**

???

### **Słowa kluczowe**

???

### **Dziedzina pracy (kody wg programu Socrates-Erasmus)**

???

### **Klasyfikacja tematyczna**

???

### **Tytuł pracy w języku angielskim**

Effective algorithms of combinatorial objects generation???



# Spis treści

<b>Wprowadzenie</b> . . . . .	5
<b>1. Własności hiperkostki</b> . . . . .	7
1.1. Podstawowe definicje . . . . .	7
1.2. Podstawy kombinatoryczne . . . . .	9
1.3. Własność ekspansji . . . . .	9
<b>2. Problemy na wadliwej hiperkostce</b> . . . . .	13
2.1. Graf z wadami . . . . .	13
2.2. Spójność wadliwej hiperkostki . . . . .	13
2.2.1. Podejście ekspansywne . . . . .	13
2.2.2. Redukcja przy pomocy transformacji ścieżek . . . . .	16
<b>Bibliografia</b> . . . . .	23



# Wprowadzenie





# Rozdział 1

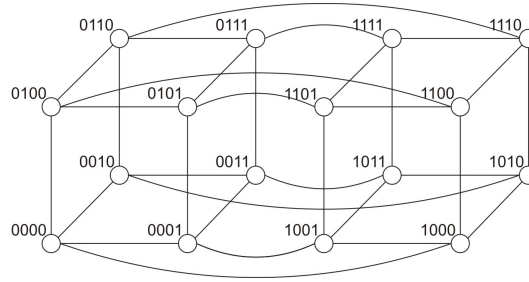
## Własności hiperkostki

### 1.1. Podstawowe definicje

**Definicja 1.1.1.** Dla  $n \in \mathbb{N}$   $[n] = \{0, \dots, n-1\}$  (zbiór pierwszych  $n$  liczb naturalnych).

**Definicja 1.1.2.** Hiperkostką wymiaru  $n$  ( $Q_n$ ) nazwiemy graf, w którym każdy wierzchołek odpowiada ciągowi binarnemu długości  $n$ , zaś krawędzią połączone są te wierzchołki, których ciągi binarne różnią się na dokładnie jednej pozycji.

$$V(Q_n) = \{(v_0, \dots, v_{n-1}) : v_i \in \{0, 1\}\}, E(Q_n) = \{(u, v) : \sum_i |u_i - v_i| = 1\}$$



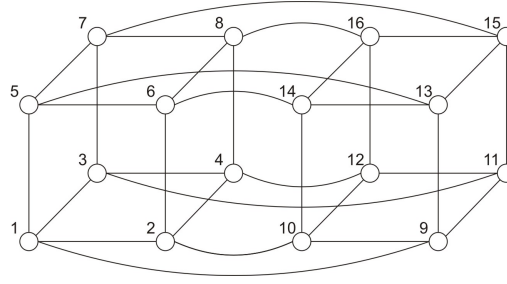
W przypadku pełnej hiperkostki bardzo łatwo jest określić długość najkrótszej ścieżki pomiędzy wierzchołkami – jest ona równa ilości pozycji na których różnią się ciągi tych wierzchołków.

Hiperkostka jest grafem dwudzielnym, w którym jedną składową jest zbiór wierzchołków o ciągach z parzystą liczbą jedynek, zaś drugą tych o ich nieparzystej liczbie.

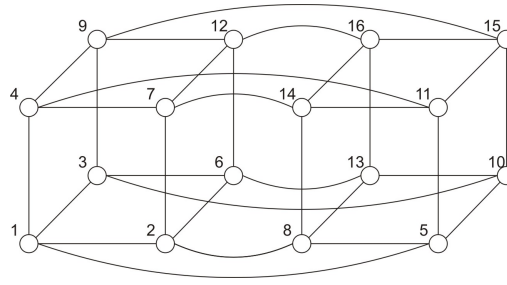
Cowięcej przy badaniu hiperkostek często dzieli się je na  $n+1$  warstw, gdzie dla  $i \in [n+1]$   $i$ -tą warstwę stanowią te wierzchołki, których ciągi binarne mają dokładnie  $i$  jedynek (warstwa zawiera zatem wierzchołki oddalone o  $i$  od wierzchołka zerowego  $(\bar{0})$ ).

**Definicja 1.1.3.** Dla dwóch wierzchołków hiperkostki definiujemy:  $u\Delta v = \{i : u_i \neq v_i\}$ , gdzie  $(u_0, \dots, u_{n-1})$  i  $(v_0, \dots, v_{n-1})$  to ciągi binarne wierzchołków  $u$  i  $v$  odpowiednio ( $|u\Delta v|$  wyznacza odległość wierzchołków w hiperkostce).

**Definicja 1.1.4.** Numerowaniem klasycznym (naturalnym) hiperkostki nazwiemy takie numerowanie  $\varphi : V(Q_n) \rightarrow \{1, \dots, |V(Q_n)|\}$  jej wierzchołków, że  $\varphi(v) = 1 + \sum_i v_i \cdot 2^i$



**Definicja 1.1.5.** Numerowaniem warstwowym hiperkostki nazwiemy jej numerowanie w kolejności przeszukiwania grafu wszerz zaczynając od wierzchołka  $\bar{0}$  z wybieraniem sąsiadów w kolejności leksykograficznej.



**Uwaga 1.** Jest to takie numerowanie  $\varphi : V(Q_n) \rightarrow \{1, \dots, |V(Q_n)|\}$  jej wierzchołków, że wierzchołki z  $i$ -tej warstwy otrzymują numery od  $\sum_{j=0}^{i-1} \binom{n}{j} + 1$  do  $\sum_{j=0}^i \binom{n}{j}$ . W obrębie jednej warstwy numery przyznawane są przeciwnie do kolejności leksykograficznej na odwróconych słowach.  $\varphi(v) > \varphi(u) \Leftrightarrow (\sum_{i=0}^n v_i > \sum_{i=0}^n u_i) \vee ((\sum_{i=0}^n v_i = \sum_{i=0}^n u_i) \wedge (\sum_{i=0}^n 2^{n-i} v_i < \sum_{i=0}^n 2^{n-i} u_i))$

*Dowód.* Indukcyjnie po warstwach.

Dla warstwy 0 oczywiste.

Zakładając, że  $i$ -ta warstwa jest ponumerowana w tym porządku weźmy dwa wierzchołki  $u, v$  z warstwy  $i + 1$ :  $u = (\bar{y}_1, 1, \bar{x}), v = (\bar{y}_2, 0, \bar{x})$ .

Jeśli  $\bar{y}_1$  zawiera same 0, to  $\bar{y}_2$  zawiera dokładnie jedną 1, sąsiedzi tych wierzchołków z poprzedniej warstwy o najmniejszych numerach to odpowiednio  $(\bar{0}, 0, \bar{x}), (\bar{0}, 0, \bar{x})$ , tak więc zostaną ponumerowane jako sąsiedzi tego samego wierzchołka, jednak  $u$  otrzyma mniejszy numer jako sąsiad mniejszy leksykograficznie.

Jeśli  $\bar{y}_1$  zawiera 1, to  $\bar{y}_2$  też, więc sąsiedzi tych wierzchołków z poprzedniej warstwy o najmniejszych numerach to odpowiednio  $(\bar{y}'_1, 1, \bar{x}), (\bar{y}'_2, 0, \bar{x})$ , gdzie  $\bar{y}'_1$  i  $\bar{y}'_2$ , to odpowiednio  $\bar{y}_1$  i  $\bar{y}_2$  z pierwszymi 1 zamienionymi na 0. Z założenia indukcyjnego sąsiad  $u$  ma mniejszy numer niż sąsiad  $v$ , więc  $u$  ma mniejszy numer niż  $v$ .  $\square$

**Definicja 1.1.6.** Dla grafu  $G$  oraz wierzchołka  $v \in V(G)$  definiujemy sąsiedztwo wierzchołka jako zbiór wierzchołków połączonych z nim krawędzią:  $N(v) = \{u \in V(G) : (u, v) \in E(G)\}$ .

**Definicja 1.1.7.** Dla grafu  $G$  oraz zbioru wierzchołków  $S \subseteq V(G)$  definiujemy sąsiedztwo zbioru wierzchołków jako zbiór tych sąsiadów wierzchołków ze zbioru, które same do tego zbioru nie należą:  $N(S) = (\bigcup_{v \in S} N(v)) \setminus S$

**Definicja 1.1.8.** Dla grafu  $G$  oraz zbioru wierzchołków  $S \subseteq V(G)$  definiujemy wnętrze zbioru wierzchołków jako zbiór tych wierzchołków z  $S$ , których wszyscy sąsiedzi również należą do tego zbioru:  $In(S) = \{v \in S : N(v) \subseteq S\}$

**Definicja 1.1.9.** Dla danego  $V \subseteq V(G)$   $G[V] = (V, \{uv \in E(G) : u, v \in V\})$  oznacza podgraf indukowany przez podzbiór wierzchołków  $V$ .

**Definicja 1.1.10.** Dla danego  $V \subseteq V(G)$   $G - V = G[V(G) \setminus V]$  oznacza graf  $G$  z usuniętymi wierzchołkami  $V$ .

**Definicja 1.1.11.** Dla danego grafu  $G$

$G^2 = (V(G), E(G) \cup \{uv : \exists w \in V(G) uw \in E(G) \cap vw \in E(G)\})$  oznacza kwadrat grafu, czyli graf z dodanymi krawędziami między wierzchołkami oddalonymi o co najwyżej 2.

## 1.2. Podstawy kombinatoryczne

$$\binom{2n}{n} = \frac{2^{2n} \Gamma(n + \frac{1}{2})}{\sqrt{\pi} \Gamma(n+1)}, \quad \binom{2n+1}{n} = \binom{2n+1}{n+1} = \frac{2^{2n+1} \Gamma(n + \frac{3}{2})}{\sqrt{\pi} \Gamma(n+2)}$$

$$\Gamma(z) = \int_0^\infty x^{z-1} e^{-x} dx \quad \text{dla } n \in \mathbb{N} \quad \Gamma(n) = (n-1)!,$$

$$\text{ogólniej dla } x \in \mathbb{R}, x > 1 \quad \frac{\Gamma(x+1)}{\Gamma(x)} = x, \quad \frac{\Gamma(x+\frac{1}{2})}{\Gamma(x)} < \frac{\Gamma(x+1)}{\Gamma(x+\frac{1}{2})} \Rightarrow \sqrt{x - \frac{1}{2}} < \frac{\Gamma(x+\frac{1}{2})}{\Gamma(x)} < \sqrt{x}$$

$$\text{Daje to ograniczenia: } \frac{2^{2n}}{\sqrt{\pi(n+\frac{1}{2})}} < \binom{2n}{n} < \frac{2^{2n}}{\sqrt{\pi n}}, \quad \frac{2^{2n+1}}{\sqrt{\pi(n+\frac{3}{2})}} < \binom{2n+1}{n} = \binom{2n+1}{n+1} < \frac{2^{2n+1}}{\sqrt{\pi(n+1)}}$$

$$\text{Lub równoważnie: } \frac{2^n}{\sqrt{\pi(\lfloor \frac{n}{2} \rfloor + \frac{1}{2})}} < \binom{n}{\lfloor \frac{n}{2} \rfloor} = \binom{n}{\lceil \frac{n}{2} \rceil} < \frac{2^n}{\sqrt{\pi \lceil \frac{n}{2} \rceil}}$$

**Lemat 2.** Dla  $k \leq \lfloor \frac{n+1}{2} \rfloor$  zachodzi ograniczenie  $\sum_{i=0}^{k-1} \binom{n}{i} \leq 2^{n-1} \frac{\binom{n}{k}}{\binom{n}{\lfloor \frac{n}{2} \rfloor}}$

*Dowód.* (Uogólnienie dowodu z podobnego lematu dla  $n = 2m, k < m$  z [1])

Założmy najpierw, że  $k < \lfloor \frac{n}{2} \rfloor$

$$\text{Zdefiniujmy } c = \frac{\binom{n}{k}}{\binom{n}{\lfloor \frac{n}{2} \rfloor}} < 1, t = \lfloor \frac{n}{2} \rfloor - k, A = \sum_{i=0}^{k-1} \binom{n}{i}, B = \sum_{i=k}^{\lfloor \frac{n}{2} \rfloor - 1} \binom{n}{i}$$

$$\forall 1 \leq i \leq k \quad \frac{\binom{n}{k-i}}{\binom{n}{\lfloor \frac{n}{2} \rfloor - i}} < \frac{\binom{n}{k-i+1}}{\binom{n}{\lfloor \frac{n}{2} \rfloor - i+1}} \Leftrightarrow \frac{k-c+1}{n-k+c} < \frac{\lfloor \frac{n}{2} \rfloor - c+1}{\lfloor \frac{n}{2} \rfloor + c},$$

$$\text{co wynika z szeregu prostych nierówności } \frac{k-c+1}{n-k+c} \leq \frac{k-c+1}{k+c+1} < \frac{\lfloor \frac{n}{2} \rfloor - c+1}{\lfloor \frac{n}{2} \rfloor + c+1} \leq \frac{\lfloor \frac{n}{2} \rfloor - c+1}{\lfloor \frac{n}{2} \rfloor + c}$$

$$\text{Daje nam to ograniczenia } \forall 1 \leq i \leq k \quad \frac{\binom{n}{k-i}}{\binom{n}{\lfloor \frac{n}{2} \rfloor - i}} < c.$$

Suma ostatnich  $t$  wyrazów szeregu  $A$  jest majoryzowana przez  $c \cdot B$ , wcześniejszych  $t$  przez  $c$  razy suma ostatnich  $t$  (a więc przez  $c^2 \cdot B$ ). Daje nam to oszacowanie  $A < (c + c^2 + c^3 + \dots + c^{\lfloor \frac{k}{t} \rfloor}) \cdot B < (c + c^2 + c^3 + \dots) \cdot B = \frac{c}{1-c} \cdot B$ . Jednocześnie  $A + B = \sum_{i=0}^{\lfloor \frac{n}{2} \rfloor - 1} \binom{n}{i} < 2^{n-1}$ .

$$A = c \cdot A + (1-c) \cdot A = c(A + \frac{1-c}{c} A) < c \cdot (A + B) < c \cdot 2^{n-1}.$$

Pozostaje udowodnić przypadki większych  $k$ :

$$\text{Dla } n = 2m, k = m \quad \sum_{i=0}^{m-1} \binom{2m}{i} = 2^{2m-1} - \frac{1}{2} \binom{2m}{m} < 2^{2m-1} = 2^{n-1} \cdot \frac{\binom{n}{k}}{\binom{n}{\lfloor \frac{n}{2} \rfloor}}$$

$$\text{Dla } n = 2m+1, k = m \quad \sum_{i=0}^{m-1} \binom{2m+1}{i} = 2^{2m} - \binom{2m+1}{m} < 2^{2m} = 2^{n-1} \cdot \frac{\binom{n}{k}}{\binom{n}{\lfloor \frac{n}{2} \rfloor}}$$

$$\text{Dla } n = 2m+1, k = m+1 \quad \sum_{i=0}^m \binom{2m+1}{i} = 2^{2m} = 2^{n-1} \cdot \frac{\binom{n}{k}}{\binom{n}{\lfloor \frac{n}{2} \rfloor}} \quad (\text{jedyna nieostra nierówność})$$

□

## 1.3. Własność ekspansji

**Definicja 1.3.1.** Graf  $G$  posiada własność  $\varepsilon$ -ekspansji wierzchołkowej, jeżeli dla każdego zbioru wierzchołków  $S \subseteq V(G)$  takiego, że  $|S| \leq \frac{|V(G)|}{2}$  zachodzi  $|N(S)| \geq \varepsilon \cdot |S|$

**Lemat 3.** Zbiór pierwszych  $l$  wierzchołków hiperkostki według numerowania warstwowego posiada maksymalne wnętrze wśród zbiorów wielkości  $l$ .

Jest to jeden z lematów dowodzonych w pracy [2].

**Lemat 4.** Dla hiperkostki do udowodnienia własności  $\varepsilon_n$ -ekspansji wierzchołkowej wystarczy rozważyć zbiory  $S$  postaci  $S_k, k \leq 2^{n-1}$ .

*Dowód.* Weźmy dowolne  $S \subseteq V(G), l = |S| + |N(S)|$  z Lematu 1.3 wynika, że  $\frac{|N(S)|}{|S|} = \frac{|N(S)| + |S|}{|S|} - 1 \geq \frac{|S_l|}{|In(S_l)|} - 1 = \frac{|S_l \setminus In(S_l)|}{|In(S_l)|} \geq \frac{|N(In(S_l))|}{|In(S_l)|}$ . Z definicji  $S_l$  wynika, że  $In(S_l) = S_k$  dla  $k = In(S_l)$ .

Pozostaje udowodnić, że wystarczy rozważyć te  $S_k$ , że  $k \leq 2^{n-1}$

Dla  $l = |N(S)| + |S| \geq (\varepsilon_n + 1) \cdot 2^{n-1}$  mamy  $|S| > 2^{n-1}$  lub  $|N(S)| \geq \varepsilon_n |S|$ , wystarczy więc rozważyć przypadek  $l < (\varepsilon_n + 1) \cdot 2^{n-1}$ .

Dla  $n = 2m + 1$  weźmy  $k = 2^{n-1} = \sum_{i=0}^m \binom{2m+1}{i}$ , wtedy  $S_k$  = pełne  $m + 1$  pierwszych warstw i  $N(S_k)$  = warstwa  $m + 1$ . Przykład ten pokazuje, że  $\varepsilon_n \leq \frac{\binom{2m+1}{m+1}}{2^{2m}}$ , więc  $l < 2^{2m} + \binom{2m+1}{m+1} \Rightarrow S_l$  mieści się w pierwszych  $m + 2$  warstwach  $\Rightarrow S_k = In(S_l)$  mieści się w pierwszych  $m + 1$  warstwach  $\Rightarrow k \leq 2^{2m} = 2^{n-1}$ .

Dla  $n = 2m$  weźmy  $k = 2^{n-1} = \sum_{i=0}^{m-1} \binom{2m}{i} + \frac{1}{2} \binom{2m}{m}$ , wtedy  $S_k$  = pełne  $m$  pierwszych warstw + połowa środkowej. W środkowej warstwie pierwsze  $\binom{2m-1}{m-1} = \frac{1}{2} \binom{2m}{m}$  wierzchołków to dokładnie te, których ciągi binarne kończą się na 1. Wtedy też  $S_k \cup N(S_k)$  to dokładnie pełne  $m + 1$  pierwszych warstw plus te wierzchołki z warstwy  $m + 2$ , które kończą się na 1  $\Rightarrow |N(S_k)| = \binom{2m-1}{m} + \binom{2m-1}{m-1} = \binom{2m-1}{m} + \binom{2m-1}{m-1} = \binom{2m}{m}$ . Przykład ten pokazuje, że  $\varepsilon_n \leq \frac{\binom{2m}{m}}{2^{2m-1}}$ , więc  $l < 2^{2m-1} + \binom{2m}{m} \Rightarrow S_l$  mieści się w pierwszych  $m + 1$  warstwach plus tych wierzchołkach z warstwy  $m + 2$ , które kończą się na 1  $\Rightarrow k \leq 2^{n-1}$ .  $\square$

**Wniosek 5.** Hiperkostka wymiaru  $n$  nie posiada własności  $\frac{2\sqrt{2}}{\sqrt{\pi n}}$ -ekspansji wierzchołkowej.

*Dowód.* Dla  $n = 2m + 1$

$$\frac{|N(S_{2^{2m}})|}{|S_{2^{2m}}|} = \frac{\binom{2m+1}{m+1}}{2^{2m}} = \frac{2^{2m+1}}{2^{2m} \sqrt{\pi(m+1)}} = \frac{2}{\sqrt{\pi(m+1)}} = \frac{2}{\sqrt{\pi(\frac{n}{2} + \frac{1}{2})}} = \frac{2\sqrt{2}}{\sqrt{\pi(n+1)}} < \frac{2\sqrt{2}}{\sqrt{\pi n}}.$$

$$\text{Dla } n = 2m \quad \frac{|N(S_{2^{2m-1}})|}{|S_{2^{2m-1}}|} = \frac{\binom{2m}{m}}{2^{2m-1}} < \frac{2^{2m}}{2^{2m-1} \sqrt{\pi(m+1)}} = \frac{2}{\sqrt{\pi m}} = \frac{2}{\sqrt{\pi \cdot \frac{n}{2}}} = \frac{2\sqrt{2}}{\sqrt{\pi n}}. \quad \square$$

**Twierdzenie 6.** Hiperkostka  $Q_n$  posiada własność  $\frac{1}{\sqrt{\pi n}}$ -ekspansji wierzchołkowej.

*Dowód.* Jeśli  $k = \sum_{i=0}^r \binom{n}{i}$  (pełne  $r + 1 \leq \lfloor \frac{n}{2} \rfloor + 1$  warstw), to  $\frac{|N(S_k)|}{|S_k|} = \frac{\binom{n}{r+1}}{\sum_{i=0}^r \binom{n}{i}} > \frac{\binom{n}{r+1} \binom{\lfloor \frac{n}{2} \rfloor}{r+1}}{2^{n-1} \binom{\lfloor \frac{n}{2} \rfloor}{r+1}} = \frac{\binom{\lfloor \frac{n}{2} \rfloor}{r+1}}{2^{n-1}} > \frac{2^n}{2^{n-1} \sqrt{\pi(\lceil \frac{n}{2} \rceil + \frac{1}{2})}} = \frac{2}{\sqrt{\pi(\lceil \frac{n}{2} \rceil + \frac{1}{2})}} \geq \frac{2\sqrt{2}}{\sqrt{\pi(n + \frac{3}{2})}} \geq \frac{2}{\sqrt{\pi n}}$  (dla  $n \geq 2$ ).

( $n = 2m + 1, r = m$  rozważone w 4)

Jeśli  $k = \sum_{i=0}^r \binom{n}{i} + \binom{n-1}{r}$  (pełne  $r + 1 \leq \lfloor \frac{n}{2} \rfloor + 1$  warstw ? TODO + te wierzchołki z warstwy  $r + 2$ , których ciągi binarne kończą się na 1).

$$|N(S_k) \cup S_k| = \sum_{i=0}^{r+1} \binom{n}{i} + \binom{n-1}{r} \Rightarrow |N(S_k)| = 2 \cdot \binom{n-1}{r+1}$$

$$\frac{|N(S_k)|}{|S_k|} = \frac{2 \cdot \binom{n-1}{r+1}}{\sum_{i=0}^r \binom{n}{i} + \binom{n-1}{r}} > \frac{2 \cdot \binom{n-1}{r+1} \binom{\lfloor \frac{n}{2} \rfloor}{r+1}}{2^{n-1} \cdot (\binom{n}{r+1} + \binom{n-1}{r}) \cdot \binom{\lfloor \frac{n}{2} \rfloor}{r+1}} = \frac{2 \cdot \binom{n-1}{r+1} \binom{\lfloor \frac{n}{2} \rfloor}{r+1}}{2^{n-1} \cdot (\binom{n-1}{r} + \binom{n-1}{r+1}) + \binom{n-1}{r} \cdot \binom{\lfloor \frac{n}{2} \rfloor}{r+1}} >$$

$$\frac{2 \cdot \binom{n-1}{r+1} \binom{\lfloor \frac{n}{2} \rfloor}{r+1}}{2^{n-1} \cdot (\binom{n-1}{r} + \binom{n-1}{r+1}) \cdot \binom{\lfloor \frac{n}{2} \rfloor}{r+1}} = \left( \frac{2^{n-1}}{\binom{\lfloor \frac{n}{2} \rfloor}{r+1}} + \frac{\binom{n-1}{r}}{2 \cdot \binom{n-1}{r+1}} \right)^{-1} > \left( \frac{\sqrt{\pi(n + \frac{3}{2})}}{2\sqrt{2}} + \frac{1}{2} \right)^{-1} = \frac{2\sqrt{2}}{\sqrt{\pi(n + \frac{3}{2})} + \sqrt{2}} > \frac{2}{\sqrt{\pi n}} \quad (\text{dla } n \geq 7).$$

W pozostałych przypadkach można otrzymać ograniczenie choć dużo gorsze wiedząc, że dodanie wierzchołka do  $S$  zmniejszy  $N(S)$  o co najwyżej 1.

Weźmy teraz  $\sum_{i=0}^r \binom{n}{i} < k < \sum_{i=0}^r \binom{n}{i} + \binom{n-1}{r}$

$$\frac{|N(S_k)|}{|S_k|} > \frac{\binom{n}{r+1} - \binom{n-1}{r}}{\sum_{i=0}^r \binom{n}{i} + \binom{n-1}{r}} = \frac{\binom{n-1}{r+1}}{\sum_{i=0}^r \binom{n}{i} + \binom{n-1}{r}} \geq \frac{\frac{1}{2} \binom{n}{r+1}}{\sum_{i=0}^r \binom{n}{i} + \frac{1}{2} \binom{n}{r+1}} \left( \frac{\sqrt{\pi(n+\frac{3}{2})}}{\sqrt{2}} + 1 \right)^{-1} > \frac{1}{\sqrt{\pi n}} \quad (\text{dla } n \geq 7).$$

Analogicznie dla  $\sum_{i=0}^r \binom{n}{i} + \binom{n-1}{r} < k < \sum_{i=0}^{r+1} \binom{n}{i}$

$$\frac{|N(S_k)|}{|S_k|} > \frac{2\binom{n-1}{r+1} - \binom{n-1}{r}}{\sum_{i=0}^{r+1} \binom{n}{i}} = \frac{\binom{n-1}{r+1}}{\sum_{i=0}^{r+1} \binom{n}{i}} > \frac{\binom{n-1}{r+1}}{2^{n-1} \frac{\binom{n}{r+1}}{\binom{n}{\lfloor \frac{n}{2} \rfloor}} + \binom{n}{r+1}} \geq \frac{\binom{n}{r+1} \binom{n}{\lfloor \frac{n}{2} \rfloor}}{(2^{n-1} + \binom{n}{\lfloor \frac{n}{2} \rfloor}) \binom{n}{r+1}} = \frac{\binom{n}{\lfloor \frac{n}{2} \rfloor}}{2^{n-1} + \binom{n}{\lfloor \frac{n}{2} \rfloor}} >$$

$$\left( \frac{\sqrt{\pi(n+\frac{3}{2})}}{\sqrt{2}} + 1 \right)^{-1} > \frac{1}{\sqrt{\pi n}} \quad (\text{dla } n \geq 7).$$

Dla przypadków  $n \leq 6$  można ręcznie sprawdzić wszystkie  $2^{n-1}$  przypadków, aby również otrzymać oszacowanie  $\frac{1}{\sqrt{\pi n}}$ .  $\square$



## Rozdział 2

# Problemy na wadliwej hiperkostce

### 2.1. Graf z wadami

**Definicja 2.1.1.** W grafie  $G$  możemy wyróżnić niektóre wierzchołki (czasem również krawędzie) i oznaczyć jako wadliwe. Graf z niepustym takim wyróżnionym zbiorem wierzchołków wadliwych  $F \subseteq V(G)$  nazywamy grafem z wadami (lub grafem wadliwym)

Wadliwe wierzchołki (i/lub krawędzie) najczęściej traktowane są jako usunięte z grafu – mówimy w tym przypadku o grafie  $G - F$ . Wyróżnianie wadliwych wierzchołków w grafie zamiast definiowania nowego grafu jest umotywowane głównie w przypadkach, gdy pełny graf łatwo zdefiniować i zapisać w pamięci małej względem jego rozmiaru (np. klika, hiperkostka, graf de Bruijna), a zbiór wadliwych wierzchołków jest również mały.

### 2.2. Spójność wadliwej hiperkostki

Ten podrozdział jest napisany w większości na podstawie [3].

**Uwaga 7.** Aby zbadać spójność grafu  $G - F$  dla spójnego grafu  $G$  wystarczy sprawdzić czy wciąż istnieje ścieżka pomiędzy dowolnymi dwoma wierzchołkami, które oryginalnym grafie sąsiadowały z jakimś spośród usuniętych wierzchołków (wszystkie takie wierzchołki należą do jednej spójnej składowej).

*Dowód.* Aby udowodnić spójność trzeba pokazać, że istnieje ścieżka pomiędzy dowolnymi dwoma wierzchołkami, jednak skoro w oryginalnym grafie taka ścieżka istniała, to w nowym grafie jedyną przeszkodą jest to, że na tej ścieżce mogły występować wierzchołki, które zostały usunięte. Taką ścieżkę można naprawić wstawiając w miejsca od pierwszego do ostatniego wystąpienia wierzchołka usuniętego ścieżkę pomiędzy odpowiednimi ich sąsiadami istniejącą w pomniejszonym grafie.  $\square$

#### 2.2.1. Podejście ekspansywne

**Twierdzenie 8.** Niech graf  $G$  posiada własność  $\varepsilon$ -ekspansji wierzchołkowej z  $\varepsilon > 0$  i maksymalny stopień wierzchołka  $\Delta$ , oraz dana jest wyrocznia zwracająca dla danego wierzchołka listę jego sąsiadów. Wtedy istnieje algorytm, który otrzymuje na wejściu zbiór  $F \subseteq V(G)$  oraz  $\varepsilon$  i testuje spójność  $G - F$  w czasie  $O\left(\frac{|F|^2 \cdot \Delta^2 \cdot \log(|V(G)|)}{\varepsilon}\right)$

**Lemat 9.** Spójna składowa  $S \subseteq V(G) \setminus F$  grafu  $G - F$  jest jednego z dwóch typów:

- *główna* –  $|S| > \frac{|V(G)|}{2}$
- *mała* –  $|S| \leq \frac{|F|}{\varepsilon}$

**Uwaga 10.** *Co prawda dla dużego  $|F|$  i małego  $\varepsilon$  może być tak, że składowa jest jednocześnie główna i mała, jednak po pierwsze jest to przypadek mało interesujący, gdyż wtedy zwykle przeszukiwanie grafu spełnia tezę twierdzenia, a po drugie przypadek ten nie psuje w żaden sposób otrzymywanego algorytmu. W lemacie istotne jest to, że w grafie nie ma składowych średnich wielkości.*

**Fakt 11.** *Może być tylko jedna składowa główna.*

*Dowód.* (Lematu)

Weźmy spójną składową  $S$  grafu  $G - F$  ( $N_{G-F}(S) = 0$ ), jeżeli  $S \leq \frac{|V(G)|}{2}$ , to z własności  $\varepsilon$ -ekspansji wierzchołkowej grafu  $G$   $|N_G(S)| \geq \varepsilon \cdot |S|$  (gdzie  $S$  jest teraz traktowane jako podzbiór wierzchołków grafu  $G$ ). Gdyby zachodziło  $|S| > \frac{|F|}{\varepsilon}$ , to mielibyśmy  $|N_G(S)| > \frac{\varepsilon \cdot |F|}{\varepsilon} = |F|$ , co daje sprzeczność ponieważ aby w grafie  $G - F$  to sąsiedztwo było puste z grafu  $G$  trzeba usunąć co najmniej  $N_G(S)$  wierzchołków.  $\square$

*Dowód.* (Twierdzenia)

Chcemy sprawdzić, czy wszyscy sąsiedzi wierzchołków usuniętych należą do tej samej spójnej składowej. Na podstawie lematu 9, jeśli składowa zawierająca taki wierzchołek jest większa niż  $\frac{|F|}{\varepsilon}$ , to jest to składowa główna. Jeżeli wszystkie takie wierzchołki spełniają ten warunek, to  $G - F$  jest spójny. Jeżeli natomiast, któraś z tych składowych okaże się mała, to  $G - F$  nie jest spójny.

Wystarczy więc uruchomić liniowe przeszukiwanie grafowe w każdym wierzchołku sąsiadującym z wierzchołkiem wadliwym i przerywać po przejrzaniu  $\frac{|F|}{\varepsilon}$  wierzchołków.

Algorytm liniowego przeszukiwania grafowego uruchamiany jest co najwyżej  $|F| \cdot \Delta$  razy. Za każdym razem przeglądamy co najwyżej  $\frac{|F|}{\varepsilon}$  wierzchołków. Dla każdego przeglądanego wierzchołka sprawdzamy co najwyżej  $\Delta$  sąsiadów, a odpowiedź wyroczni zajmuje  $O(\log(|V(G)|))$  czasu. Daje to złożoność z tezy twierdzenia.  $\square$

**Wniosek 12.** *Ponieważ zgodnie z twierdzeniem 6 hiperkostka  $Q_n$  posiada własność  $\frac{1}{\sqrt{\pi n}}$ -ekspansji wierzchołkowej, oraz można znaleźć wszystkich sąsiadów wierzchołka w czasie liniowym od ich ilości powyższy algorytm testuje spójność wadliwej hiperkostki w czasie  $O(|F|^2 \cdot n^{3.5})$  (wyrażonego w ilości operacji arytmetycznych).*

**Uwaga 13.** *Ze względu na długość zapisu identyfikatora wierzchołka liniową od wymiaru hiperkostki nie da się przeprowadzać operacji na wierzchołkach w czasie szybszym niż  $n$ . To dolne ograniczenie jest osiągalne przy przechowywaniu przejrzanych wierzchołków w hashmapie (czas oczekiwany operacji  $O(n)$ , złożoność pamięciowa całej struktury  $O(n^{0.5}|F|)$ ), lub w drzewie prefiksowym (czas pesymistyczny operacji  $O(n)$ , złożoność pamięciowa całej struktury  $O(n^{1.5}|F|)$ ). Pozwala to w łatwy sposób uzyskać efektywną wyrocznię, a więc i algorytm o złożoności z wniosku.*

## pseudokod i uwagi

W algorytmie wykorzystywana jest struktura  $T$  z operacjami

- $Insert(v, T)$  wstawiającą wierzchołek  $v$  do struktury  $T$



- *Retrieve*( $v, T$ ) zwracająca binarną informację o obecności wierzchołka  $v$  w strukturze  $T$

które wymagają  $O(n)$  czasu na wykonanie (jak w uwadze 13).

Przeszukiwanie grafowe odbywa się przy pomocy funkcji o pseudokodzie:

```
DFS(v){
    counter ++;
    Insert(v, T);
    if(counter ≥ size) return(TRUE);
    foreach(u ∈ N(v)){
        if(Retrieve(u, T) == FALSE){
            if(DFS(u)) return(TRUE);
        }
    }
    return(FALSE);
}
```

Spójność sprawdzana jest przy pomocy funkcji głównej o pseudokodzie:

```
Connectivity(n, F){
    T2 = empty_structureT();
    counter = 0;
    foreach(f ∈ F){
        Insert(f, T2);
        counter ++;
    }
    size = sqrt(π * n) * counter;
    foreach(f ∈ F){
        foreach(v ∈ N(f)){
            if(Retrieve(v, T2) == FALSE){
                counter = 0;
                T = T2;
                if(DFS(v) == FALSE) return(FALSE);
            }
        }
    }
    return(TRUE);
}
```

**Uwaga 14.** Aby przeiterować po  $N(v)$  wystarczy przeiterować się po współrzędnych uzyskując sąsiada poprzez zanegowanie tej współrzędnej w zapisie bitowym  $v$ .

**Uwaga 15.** Można użyć dodatkowej struktury  $T$  w której przechowywane są wszystkie wierzchołki z poprzednich wywołań  $DFS(v)$  z funkcji głównej. Wtedy przy kolejnych użyciach  $DFS(v)$  można sprawdzać, czy wierzchołek nie był już wcześniej w jakiejś składowej (można wtedy od razu zwrócić  $TRUE$ ). Teoretycznie może to zwiększyć złożoność dwukrotnie, jednak w praktyce będzie to dużo szybsze (już nawet z tego względu, że albo inni sąsiedzi tego samego  $f$  są oddaleni o 2, albo na drodze staje inny wierzchołek z  $F$ ), w szczególności przy użyciu bardziej wyszukanych kolejności przeszukiwania (np. próba dojścia do wierzchołka  $\bar{0}$ ).

### 2.2.2. Redukcja przy pomocy transformacji ścieżek

Algorytm przedstawiony w poprzednim podrozdziale jest dowodem na to, że testowanie spójności wadliwej hiperkostki może być zrobione wielomianowo ze względu na ilość wad i wymiar hiperkostki. Algorytm ten wykorzystuje jednak bardzo płytko potencjał tak regularnego grafu. W tym podrozdziale przedstawię algorytm, który dzięki głębszemu wykorzystaniu własności hiperkostki otrzymuje lepsze rezultaty złożonościowe.

**Definicja 2.2.1.** *Na potrzeby tego podrozdziału definiuję ze pracą [3] dla  $F \subseteq V(Q_n)$  podgraf  $G(F) = (A \cup B \cup F, E)$  grafu  $Q_n$ , gdzie  $A = N(F)$ ,  $B = N(A) \setminus F$ ,  $E = \{uv \in E(Q_n) : u \in A \cup F\}$  (podgraf zawierający wierzchołki w odległości  $\leq 2$  od wierzchołków wadliwych, plus krawędzie w których jeden z końców jest wadliwy lub z takim sąsiaduje).*

**Twierdzenie 16.** *Dla  $F \subseteq V(Q_n)$  graf  $Q_n - F$  jest spójny wtedy i tylko wtedy gdy dla każdej  $C$  – spójnej składowej  $Q_n^2[F]$  spójny jest graf  $G(C) - C$ .*

#### Transformacje ścieżek w hiperkostce

**Definicja 2.2.2.** *Dla ścieżki  $W = (v_0, v_1, \dots, v_n)$  (z możliwymi powtórzeniami) w hiperkostce sekwencją tranzycji nazywamy ciąg  $\tau = (d_1, d_2, \dots, d_n)$ , gdzie  $d_i$  jest współrzędną na której różni się ciągi binarne wierzchołków  $v_{i-1}$  i  $v_i$ .*

**Fakt 17.**  *$\tau$  jest sekwencją tranzycji pewnej  $uv$ -ścieżki w  $Q_n$  wtedy i tylko gdy  $u\Delta v = \{i \in [n] : \#(\tau, i) \text{ nieparzyste}\}$ , gdzie  $\#(\tau, i)$  to ilość wystąpień  $i$  w sekwencji  $\tau$ .*

Dla  $\tau$  – sekwencji tranzycji  $uv$ -ścieżki  $W$  definiujemy trzy operacje:

- $\text{swap}(\tau_1, i, j, \tau_2) = (\tau_1, j, i, \tau_2)$  dla  $\tau = (\tau_1, i, j, \tau_2)$
- $\text{insert}_i(\tau_1, \tau_2) = (\tau_1, i, i, \tau_2)$  dla  $\tau = (\tau_1, \tau_2), i \in [n]$
- $\text{delete}(\tau_1, i, i, \tau_2) = (\tau_1, \tau_2)$  dla  $\tau = (\tau_1, i, i, \tau_2)$

Wszystkie te operacje nie zmieniają parzystości wystąpień współrzędnych, dlatego też dowolnie w ten sposób zmodyfikowana sekwencja wciąż jest sekwencją tranzycji pewnej  $uv$ -ścieżki w  $Q_n$ .

**Definicja 2.2.3.** *Dwie ścieżki, których sekwencje tranzycji  $\tau, \rho$  spełniają  $\forall_{i \in [n]} \#(\tau, i) = \#(\rho, i)$  nazywamy równoważnymi.*

**Uwaga 18.** *Dla dowolnych dwóch  $uv$ -ścieżek w  $Q_n$  istnieje sekwencja operacji  $\text{swap}, \text{insert}, \text{delete}$  (w tej kolejności bez przepłatów), która przemienia sekwencję tranzycji pierwszej w sekwencję tranzycji drugiej.*

*Dowód.* Jeśli dwie ścieżki są równoważne, to można jedną przekształcić w drugą przy pomocy samych operacji  $\text{swap}$ .

W przypadku gdy sekwencje mają różne liczności wystąpień współrzędnych, to można je doprowadzić do takich  $\tau', \rho'$ , że  $\forall_{i \in [n]} \#(\tau', i) = \#(\rho', i)$  przy pomocy samych operacji  $\text{insert}$  (używanych w dowolnie wybranych wierzchołkach).  $\square$

**Definicja 2.2.4.** *Na potrzeby dowodu twierdzenia 16 dla  $uv$ -ścieżki  $W = (w_0, w_1, \dots, w_k)$  (gdzie  $w_0 = u, w_k = v$ ) wierzchołek  $w_i$  nazywamy portem, jeśli nie jest wierzchołkiem wadliwym, ale dokładnie jeden z jego sąsiadów w ścieżce należy do  $F$  (port musi więc należeć do  $A$ ).*

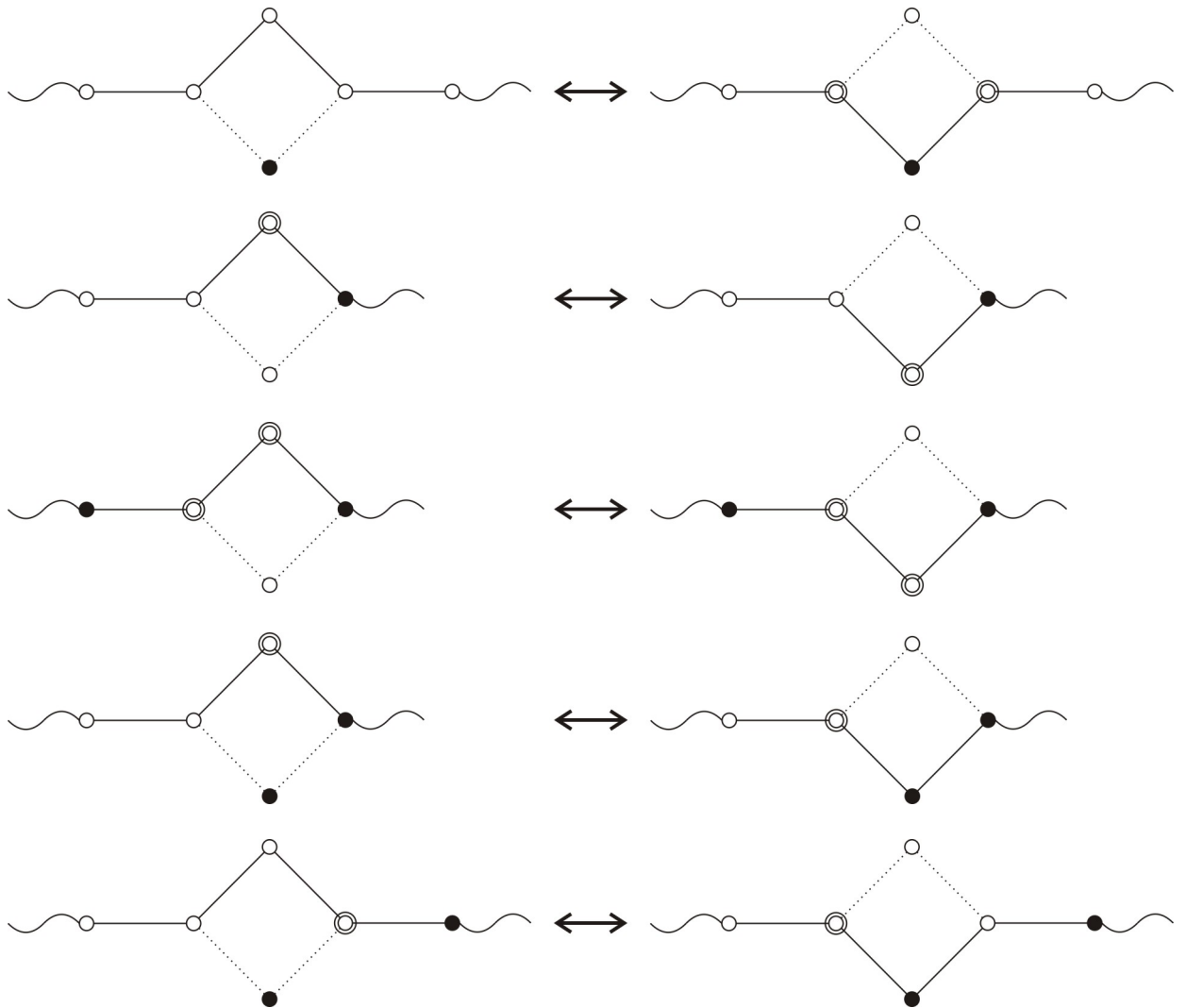
W przypadku tej definicji należy rozróżnić przeplatające się pojęcia wierzchołka grafu i jego wystąpienia na ścieżce – portem nazywane jest konkretne wystąpienie na ścieżce, inne jego wystąpienia nie muszą być portami.

Dla  $C$  spójnej składowej  $G(F) - F$  przez  $p(C, W)$  oznaczamy ilość portów w części  $W$  należącej do  $C$ .

**Lemat 19.** *Operacja swap zachowuje parzystość  $p(C, W)$ .*

*Dowód.* Dowód stanowi rysunkowe rozpatrzenie wszystkich możliwych przypadków w których w wyniku operacji *swap* powstaje i/lub znika pewien port (przypadki przy końcach ścieżki można "dopełnić" zwykłymi wierzchołkami do przypadków ze środka ponieważ wierzchołki końcowe nie są wadliwe).

○ – wierzchołek zwykły      ● – wierzchołek wadliwy      ◎ – port  
 ——— – krawędź ścieżki      ..... – krawędź spoza ścieżki      ~~~~~ – nieistotna reszta ścieżki





*Dowód.* Dla dowolnie wybranych dwóch wierzchołków  $u, v \in V(Q_n - F)$  weźmy  $W$  – ścieżkę między nimi w pełnym  $Q_n$ . Jeśli  $W$  nie zawiera wadliwego wierzchołka, to jest poprawną ścieżką w  $Q_n - F$ . W przeciwnym przypadku znajdujemy na tej ścieżce pierwsze wystąpienie wierzchołka wadliwego. Poprzedni wierzchołek na ścieżce oraz pierwszy kolejny z poza zbioru  $F$  są dwoma niewadliwymi wierzchołkami należącymi do  $G(C)$ , gdzie  $C$  jest spójną składową  $Q_n^2[F]$  (oddalone o 1 od wadliwych wierzchołków, które są połączone ścieżką samych wadliwych wierzchołków). W  $G(C)$  nie ma wadliwych wierzchołków spoza  $C$ , ponieważ oznaczałoby to, że taki wierzchołek jest oddalony o  $\leq 2$  od pewnego wierzchołka z  $C$ , a więc byłby z nim połączony w  $Q_n^2$ , dlatego też ścieżka ze spójnego z założenia  $G(C) - C$  nie zawiera wadliwego wierzchołka. Wystarczy więc wadliwą część ścieżki  $W$  zastąpić odpowiednią ścieżką z  $G(C) - C$  aby otrzymać poprawną ścieżkę w  $Q_n - F$ .  $\square$

*Dowód.* (Twierdzenia 16)

Lemat 22 jest implikacją w jedną stronę. W drugą stronę dla spójnego  $Q_n^2[F]$  jest dana wnioskiem 21. Wystarczy udowodnić, że nic nie psuje się w przypadku gdy  $Q_n^2[F]$  ma więcej niż jedną spójną składową. Dla  $C$  – spójnej składowej  $Q_n^2[F]$  jeśli  $Q_n - F$  jest spójne, to jest także również  $Q_n - C$  (dla wierzchołków spoza  $Q_n - F$  te same ścieżki są dobre, dla tych z  $F \setminus C$  dowolny sąsiad należy do  $Q_n - F$ , więc również łatwo zbudować ścieżkę), a więc spójne jest również  $G(C) - C$  co kończy dowód.  $\square$

## Algorytm

Stosując powyższe twierdzenie można uzyskać wielomianowy algorytm używając jedynie przeszukiwania grafowego podobnie jak w podrozdziale 2.2.1. Można jednak uzyskać lepsze rezultaty używając dodatkowo struktury *Find-Union* i sprawdzając spójności już w trakcie budowania podgrafów  $G(C) - C$ .

W algorytmie używane są:

- struktura *Find-Union*  $D$  z operacjami:
  - $Make(v, D)$  tworzącą singleton  $\{v\}$
  - $Find(v, D)$  zwracającą wskaźnik na zbiór zawierający  $v$
  - $Union(u, v, D)$  łączącą zbiór zawierający  $u$  ze zbiorem zawierającym  $v$

których zamortyzowany czas można ograniczyć przez  $O(\log m)$  (a da się nawet uzyskać  $O(\log^* m)$ ), gdzie  $m$  jest ilością użytych operacji  $Make(v, D)$ . Dodatkowo struktura zapewnia możliwość sprawdzenia, czy zawiera więcej niż jeden zbiór (wystarczy pojedynczy licznik inkrementowany przy  $Make(v, D)$  i dekrementowany przy  $Union(u, v, D)$ ).

- strukturę  $T$  do przechowywania informacji o niektórych wierzchołkach jak binarne drzewo prefiksowe lub hashmapa, przechowywującą dla wierzchołka  $v_T$  informacje:
  - wskaźnik do wierzchołka  $v$  w strukturze  $D$
  - informacje o wadliwości/braku wadliwości wierzchołka
  - binarną informację o tym czy wierzchołek był odwiedzony i należy do  $F \cup N(F)$

wspierającą operacje:

- $Insert(v, T)$  wstawiającą wierzchołek  $v$  do struktury  $T$  i zwracającą wskaźnik na  $v_T$
- $Retrieve(v, T)$  zwracającą  $v_T$  lub  $NULL$  w przypadku gdy  $v$  nie ma w strukturze

które wymagają  $O(n)$  czasu na wykonanie.

Definiuję pomocniczą funkcję uzyskiwania wierzchołków ze struktury  $T$  i inicjalizowania w razie nieobecności:

```
Retrieve2( $v, T$ ){
   $v_T = \text{Retrieve}(v, T)$ ;
  if( $v_T == \text{NULL}$ ){
     $v_T = \text{Insert}(v, T)$ ;
     $v_T.\text{healthy} = \text{TRUE}$ ;
     $v_T.\text{visited} = \text{FALSE}$ ;
     $\text{Make}(v, D)$ ;
  }
  return( $v_T$ );
}
```

Najistotniejszą częścią algorytmu jest procedura (czasami dla wielu wierzchołków z  $F$ )  $\text{DFS}(f)$  znajdująca spójne składowe  $G(C) - C$ , dla  $C$  spójnej składowej  $Q_n^2[F]$  zawierającej wadliwy wierzchołek  $f$ , o następującym pseudokodzie:

```
DFS( $f$ ){
  foreach( $u \in N(f)$ ){
     $u_T = \text{Retrieve2}(u, T)$ ;
    if( $u_T.\text{visited} == \text{FALSE}$ ){
       $u_T.\text{visited} = \text{TRUE}$ ;
      if( $u_T.\text{healthy}$ ){
        foreach( $v \in N(u)$ ){
           $v_T = \text{Retrieve2}(v, T)$ ;
          if( $v_T.\text{healthy}$ ){
            if( $\text{Find}(u, D) \neq \text{Find}(v, D)$ )  \\ krawędź  $uv$  należy do  $G(C) - C$ 
          }else if( $v_T.\text{visited} == \text{FALSE}$ ){
             $v_T.\text{visited} = \text{TRUE}$ ;
             $\text{DFS}(v)$ ;  \\ wadliwy wierzchołek należący do  $C$ 
          }
        }
      }
    }else  $\text{DFS}(u)$ ;  \\ wadliwy wierzchołek należący do  $C$ 
  }
}
```

Powyższa prodedura uruchamiana jest z funkcji głównej:

```
Conectivity( $n, F$ ){
   $T = \text{empty\_structure}T()$ ;
  foreach( $f \in F$ ){
     $f_T = \text{Insert}(f, T)$ ;
     $f_T.\text{healthy} = \text{FALSE}$ ;
     $f_T.\text{visited} = \text{FALSE}$ ;
  }
}
```

```

foreach( $f \in F$ ){
   $f_T = \text{Retrieve}(f, T)$ ;
  if( $f_T.visited == FALSE$ ){
     $f_T.visited = TRUE$ ;
     $D = \text{empty\_structure}D()$ ;
     $DFS(f)$ ;
    if( $D.counter > 1$ ) return( $FALSE$ );
  }
}
return( $TRUE$ );
}

```

### Analiza złożoności

**Wniosek 23.** Algorytm ma pesymistyczną złożoność czasową i pamięciową  $O(|F| \cdot n^3)$ .

*Dowód.* Dla każdego wierzchołka z  $F$  każdy sąsiad jest przeglądany po jeden raz, dla każdego wierzchołka należącego do  $N(F)$  również przeglądani są wszyscy sąsiedzi po razie. Przeglądnięcie jednego wierzchołka (znalezienie odpowiedniego wierzchołka w  $T$  i  $D$ ) zajmuje  $O(n)$ , ustawienie właściwości w  $D$  zajmuje stały czas po posiadaniu dowiązania do odpowiedniego wierzchołka – daje to złożoność tej części  $O(|F| \cdot n^3)$ .

Operacja  $Make(v, D)$  używana jest dla każdego wierzchołka z  $G(C) - C$  po razie dla każdego  $C$  (może być użyta więcej niż raz dla wierzchołków oddalonych o 2 od  $F$  i występujących w różnych  $G(C)$ ). W przypadku  $Find(v, D)$  i  $Union(u, v, D)$  uruchamiane są one maksymalnie odpowiednio dwa i jeden raz dla każdego z sąsiadów wierzchołków  $N(F)$  – daje to złożoność  $O(|F| \cdot n^2 \log(n))$ .

Preprocessing i Postprocessing (tworzenie i usuwanie struktur  $T$  i  $D$ ) może być zrobione w czasie liniowym od ich wielkości (w przypadku  $D$  można trzymać dowiązanie do wszystkich nieuporządkowanych wierzchołków dodatkowo na liście). W przypadku struktury  $T$  wielkość tą można ograniczyć przez  $O(|F| \cdot n^3)$  przy użyciu drzewa prefiksowego (lub  $O(|F| \cdot n^2)$  przy użyciu hashmapy, która nie pozwala jednak uzyskać odpowiedniej złożoności przy pesymistycznym scenariuszu), zaś w przypadku struktur  $D$  łącznie  $O(|F| \cdot n^2)$ .  $\square$





# Bibliografia

- [1] L. Lovasz, J. Pelikan and K. Vesztergombi. "Discrete Mathematics, Elementary and Beyond." *Undergraduate Texts in Mathematics. New York: Springer, first edition, 2003*
- [2] L. H. HARPER, "Optimal Numberings and Isoperimetric Problems on Graphs" *JOURNAL OF COMBINATORIAL THEORY 1*, 385-393 (1966)
- [3] Tomas Dvorak, Jiri Fink, Petr Gregor, Vaclav Koubek and Tomasz Radzik, "Efficient connectivity testing of hypercubic networks with faults"
- [4] Jiri Fink and Petr Gregor, "Long paths and cycles in hypercubes with faulty vertices"
- [5] Jiri Fink and Petr Gregor, "Long pairs of paths in faulty hypercubes"
- [6] Frank Harary, John P. Hayes and Horng-Jyh Wu, "A survey of theory of hypercube graphs" *Comput. Math. Applic. Vol. 15, No 4, pp. 277-289, 1988*
- [7] Frank Harary, Marilynn Livingston, "Independent domination in hypercubes" *Appl. Math. Lett. Vol. 6, No 3, pp. 27-28, 1993*
- [8] Wojciech Rytter & Bartosz Szreder, "Wprowadzenie do kombinatoryki algorytmicznej"
- [9] DONALD E. KNUTH, "Generating All Tuples and Permutations" *THE ART OF COMPUTER PROGRAMMING VOLUME 4, FASCICLE 2*
- [10] FRANK RUSKEY, "Combinatorial Generation" *Working Version, October 1, 2003*
- [11] Tibor Szabo, Emo Wertz, "Unique Sink Orientations of Cubes"
- [12] Chi Him Wong, "Novel universal cycle constructions for a variety of combinatorial objects" *Guelph, Ontario, Canada, April, 2015*